土の構成則に関連する相互作用ばねを用いた単杭の水平載荷実験の2次元有限要素解析 - その3 地表面の影響-

東洋建設正会員小竹望東電設計正会員溜幸生日本科学技術研修所正会員小堤治

京都大学 正会員 井合 進

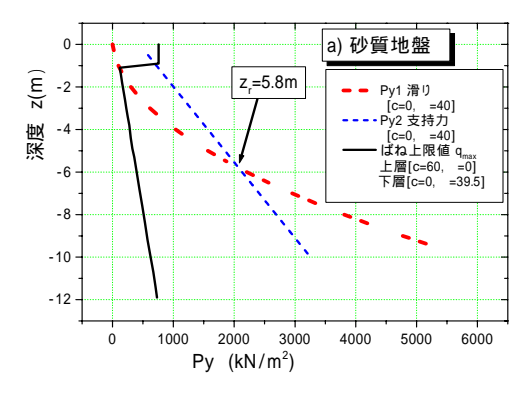
沿岸開発技術研究センター 田河 祥一

1.はじめに

著者らは有限要素法に基づく 2 次元有効応力解析プログラム $FLIP^{1)}$ において、土の構成則に連動する杭 - 地盤相互作用ばね $^{2)}$ を提案した。その適用性を確認するため、実物大単杭の水平載荷実験 $^{3)}$ を対象として静的解析を行った。前報 $^{4),5)}$ では、杭 - 地盤相互作用ばねを用いた 2 次元有限要素解析により、砂質地盤および粘性土地盤でそれぞれ実施された載荷実験がよく再現できることを示した。本報では、単杭の静的な挙動における地表面の影響について考察を加える。

2.極限地盤反力

水平力を受ける杭に作用する極限地盤反力を評価する方法として、)地表面付近では杭前面の楔状のすべり土塊が押し上げられる受)地盤深部では杭に直交する面内における水平方向の支 持力破壊を仮定することが既往の研究(例えば、岸田ら6)で提案さ れている。上記の仮定による深度 z における極限地盤反力度をそれ ぞれ P_{v1}(z), P_{v2}(z)とすると、極限地盤反力度は P_v(z)=min[P_{v1}(z), $P_{v2}(z)$] で与えられ、地表面から $P_{v1}(z)=P_{v2}(z)$ となる限界深さ z , ま での範囲に対して地表面の影響を考慮することになる。前報に示し た載荷実験の地盤条件に関して、岸田ら ⁶⁾の方法に準じて算定した P_v(z)と z_rを図-1 に示す。一様な砂質地盤(c=0, =40°)と粘性土地 盤(c=20kPa, = 0)に対して、限界深さはそれぞれ z,=5.8m, 1.0m となる。一方、杭-地盤相互作用ばねの上限値 破綻荷重 F_{max}(kN) は、F_{max}= L·D· · _{mo} から得られる²⁾。ここで、L(m)はばね支配長、 D(m)は杭径、 は moで正規化した破綻荷重、 mo(kN/m²)は土の初期 せん断強度である。前報の解析条件に関するばね上限値、すなわち 極限地盤反力度 q_{max} = F_{max} /(L·D)= ・ $_{mo}$ (kN/ m^2)を図 - 1 に示す。 は2次元水平断面内の杭 地盤系の解析から得られるた め、 q_{max} は地盤深部の P_{v2} に対応している。杭の主要な変位が生じる



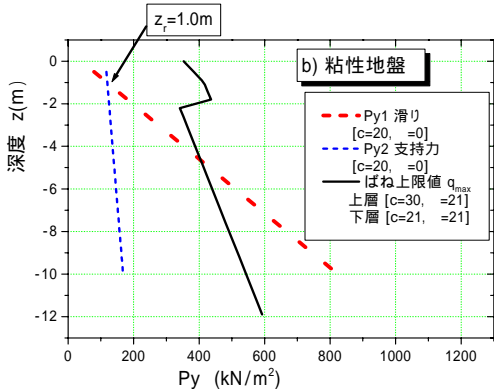


図-1 極限地盤反力度

GL-5.0m 程度までの範囲に関して、砂質地盤の q_{max} は P_{y2} の $1/5 \sim 1/6$ であり、 P_{y1} よりも小さい。粘性土地盤の q_{max} は、粘着力 c と内部摩擦角 の両者を有するせん断強度 $^{5)}$ を定義しているため、 P_{y2} の 3 倍程度大きい値になる。地表面の影響は、相互作用ばねが発揮するばね力 F(kN) に低減係数を乗じて考慮する。

3.地盤反力度~相対変位関係

砂質地盤での長杭に対する水平載荷試験の有限要素解析結果のうち低減係数を考慮しないケース 4)について、杭頭変位 u=10,25,35,60mm の各段階における地盤反力度 q の深度分布を図-2 に示す。載荷が進むに従って、地表面付近から地盤深部へ地盤反力度が上限に達していく状況が判る。図-3 に地盤反力度 q と相対変位 u_{ij} の関係を代表的な深度について示す。表層の粘性土層(GL-0.8m)は、 u_{ij} >40m でほぼピーク状態となる。GL-1.0m 以深の砂質土層では、 u_{ij} =2~4m で地盤反力 q がピークを示す。その後、GL-1.6m では残留状態となるが、GL-2.4m ではピー

キーワード:杭、有限要素解析、地盤反力、相互作用ばね、水平載荷試験

連絡先: 〒101-8463 東京都千代田区神田錦町 3-7-1 東洋建設㈱ 土木本部土木設計部 TEL03-3296-4623

ク値を維持している。杭変位の小さい GL-5.0m では、初期の弾性域 にある。

4. 地盤挙動との関連

図-4に杭頭変位 u=60mm における杭と地盤の変形図を示す。杭前面 地盤では上向きの鉛直変位が GL-4.0 以浅で生じており、杭背面地盤 では引張域が生じている。また、図-2 に示す様に、 のを用いて算定した qmax に対し、表層付近では解析で発揮される qmax が小さくなっている。これは、図-4 に示される杭背面地盤の引張破壊による qmax の減少と考えられる。ただし、本解析では杭間隔 10D の杭 地盤モデルを設定しており、この変形図は杭中心から 5D 離れた断面での地盤変形に対応しているため、杭を含む断面の実測値とは直接比較できない。上記の通り、地盤モデルの変形・ひずみは杭を含む断面と 定性的傾向が類似しており、前報で再現された単杭の挙動が実験結果と良好に一致することから、本解析で用いた相互作用ばねが杭近傍の土の応力~ひずみ関係とうまく連動してばね力 F を評価していると考えられる。

5.低減係数の効果

地表面の影響を考慮するため導入した地盤反力の低減係数の効果を検討した。ここでは、載荷実験が実施された砂質地盤の表層部の粘性土層(厚 1m)を、その下層の砂質土層と同様な物性に置換え、仮想の一様な砂質地盤に対してパラメータースタディを行った。限界深さz,=3.2,4.0,5.6 m、低減係数=0.7,0.9,1.0 に対して、長

杭の載荷実験の有限要素解析で得られた杭頭の荷重~変位関係を図-5に示す。上記の低減係数の範囲に対して、初期剛性への影響は小さく、降伏後の杭頭荷重の差も20%以下の比較的小さい範囲になった。また、実験結果と比較すると、表層の粘性土層が杭の水平抵抗力に寄与する割合が大きいことが認められた。この観点からも、特に表層の土の物性値に関する適切な評価が杭-地盤系の解析において重要であると言える。謝辞:本検討は、FLIPの改良と高度利用法の研究を推進する目的で設立された FLIP 研究会(事務局:(財)沿岸開発技術研究センター)の活動の一環として実施されたものである。また、東京電力㈱技術開発研究所から貴重なデータを提供していただいた。ここに謝意を表します。

参考文献: 1) lai et al.: Strain space plasticity model for cyclic mobility, Report of the Port and Harbour Research Institute, Vol.29, No.4, pp.27-56, 1990. 2)小堤ら:2次元有 効応力解析における杭と液状化地盤の相互作用のモデル化、第 38 回地盤工学研究発表会、2003.7(投稿中). 3)佐藤ら:実物大単杭の水平載荷実験における杭と砂質土地盤および粘性土地盤の挙動、土木学会論文集、No.715/III-60, pp.357-367, 2002.9. 4) 川中ら:土の構成則に関連する相互ばねを用いた単杭の水平載荷実験の 2 次元有限要素解析 - その 1 砂質地盤、土木学会第 58 回年次学術講演会, 2003.9(投稿中). 5) 吉川ら:土の構成則に関連する相互ばねを用いた単杭の水平載荷実験の 2 次元年限要素解析 - その 2 粘性土地盤、土木学会第 58 回年次学術講演会, 2003.9(投稿中). 6) 岸田・中井:地盤の破壊を考慮した杭の水平抵抗、日本建築学会論文集、第 281 号, pp.41-53, 1979.7.

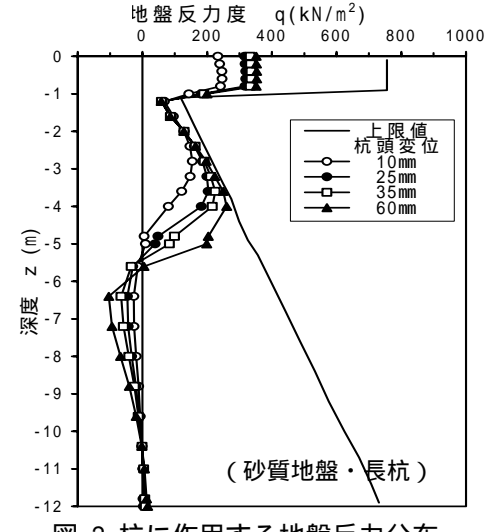


図-2 杭に作用する地盤反力分布

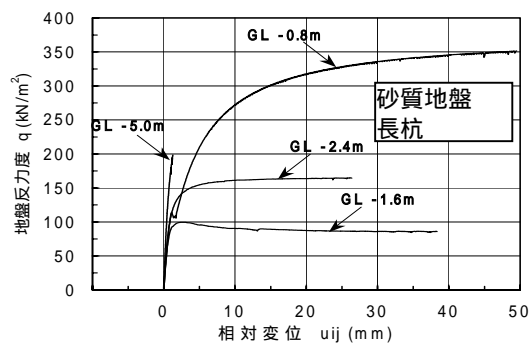


図-3 地盤反力度~相対変位関係

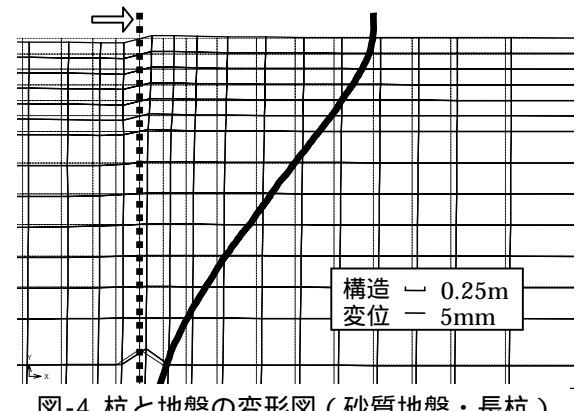


図-4 杭と地盤の変形図(砂質地盤・長杭)

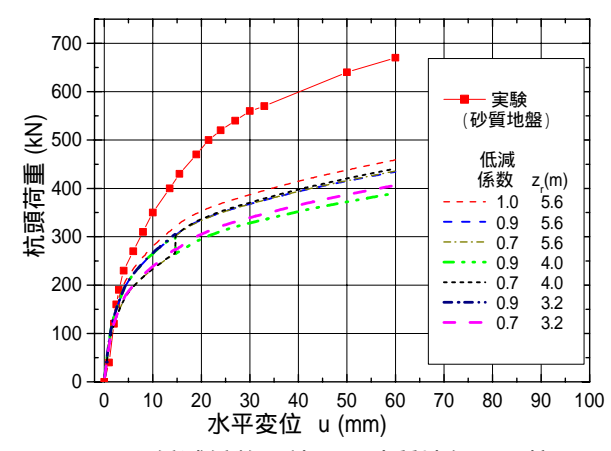


図-5 低減係数の効果(砂質地盤・長杭)